

## 두 회귀직선의 평행성에 대한 로버스트 검정

남 호 수<sup>1)</sup>, 송 문 섭<sup>2)</sup>, 신 봉 섭<sup>3)</sup>

### 요 약

본 논문에서는 두 회귀직선의 평행성에 대한 로버스트 검정법을 제안하고, 모의실험과 예를 통하여 기존의 방법들과 유의수준의 안정성 및 검정력의 측면에서 비교하였다. 제안된 검정법은 Song et al. (1994b)에 의하여 제안된 최소절사제곱 추정량을 초기치로 하는 일단계 GM-추정량에 기초를 두고 있다. 이 추정량은 최대붕괴점과 유계영향함수를 갖는 것으로 알려져 있다.

### 1. 서 론

다음과 같은 두 직선회귀 모형을 생각해 보자.

$$y_{ij} = \alpha_i + \beta_i x_{ij} + \varepsilon_{ij}, \quad i=1, 2; \quad j=1, 2, \dots, n_i,$$

여기서  $x_{ij}$ 는 계획점으로 상수이고  $\alpha_i$ 는 장애모수,  $\beta_i$ 는 회귀모수(기울기)이며  $\varepsilon_{ij}$ 는 오차항으로 서로 독립이고 0에 대하여 대칭인 동일한 분포를 따르는 확률변수이다. 본 논문에서 검정하고자 하는 가설은 “두 직선의 기울기가 같은가?” 즉,  $H_0 : \beta_1 = \beta_2$ 이며 이와 같은 가설의 검정을 평행성 검정(test for parallelism)이라고 부른다.

오차항이 정규분포를 따른다는 가정하에서는 최소제곱추정량에 기초한  $t$ -검정이 최적인 검정법이 된다. 그러나 오차항의 분포가 정규성을 크게 벗어나거나 지렛대점(leverage point)이 있는 경우에  $t$ -검정은 유의수준의 제어가 불안정할 뿐만 아니라 검정력도 심각하게 떨어지게 된다.

이러한  $t$ -검정의 단점을 고려하여 Hollander (1970)는 분포무관인 검정법을 제안하였는데, 이 방법은 두 회귀직선에서의 관측값의 개수가 모두 짝수로서 같을 때( $n_1 = n_2 = 2n$ ) 서로 다른 관측값의 쌍으로부터  $n$ 개의 독립적인 기울기 추정량을 얻고 이들에 윌콕슨 부호순위 검정을 적용하는 것이다. 그러나 Hollander 검정은 검정력이 심각하게 떨어지는 단점이 있다.

한편, Potthoff (1974)는 각 직선에서  $n_1 C_2$ 개와  $n_2 C_2$ 개의 기울기 추정량을 만들고, 여기에 Mann-Whitney 형태의 통계량을 적용시키는 검정법을 제안하였다. 이는 자료로부터의 정보를 충분히 이용한다는 장점을 갖고 있는 반면에 통계량의 분산이 모집단의 분포에 의존하게 되어

1) (151-742) 서울특별시 관악구 신림동 산 56-1, 서울대학교 자연과학대학 부설 통계연구소.

2) (151-742) 서울특별시 관악구 신림동 산 56-1, 서울대학교 계산통계학과.

3) (430-714) 경기도 안양시 만안구 안양5동, 안양대학교 통계학과.

분포무관 검정법이 되지 못한다. 따라서 Potthoff는 분산의 상한으로 표준화시킨 통계량을 사용하였고 결과적으로 매우 보수적인 검정법이 되었다. 이에 대한 모의실험 결과는 Song et al. (1994a)에 잘 나타나 있다.

Makatou and He (1994)에 의하면 로버스트 검정법의 목표는

- 귀무가설로부터의 작은 이탈에 대하여 검정의 수준이 안정적이고 (robustness of validity)
- 특정한 대립가설의 근방에서 좋은 검정력을 유지해야함 (robustness of efficiency).

으로 규정하고 있는데, 이러한 측면에서 볼 때 Hollander 검정이나 Potthoff 검정은 모두 문제점을 안고 있다고 볼 수 있겠다.

본 논문에서는 평행성 검정에 있어서 로버스트한 방법을 제안하고자 한다. 즉, Song et al. (1994b)은 회귀모수의 추정에서 50%의 최대붕괴점과 유계영향함수를 갖는 GM(Generalized M)-추정량을 제안하였으며, 본 논문에서는 이를 GM-추정량을 이용한 검정법을 제안한다. 모의실험을 통하여 t-검정 및 Hollander 검정과 비교한 결과 검정의 수준과 검정력 모두에서 매우 바람직한 결과를 얻었다.

## 2. 제안된 검정법

### 2.1. 회귀모수의 로버스트 추정량

이 절에서는 일반 중회귀모형에서 회귀모수의 로버스트 추정량을 살펴보기 위하여 다음과 같은 중회귀 모형을 생각해 보자.

$$y_i = \mathbf{x}_i' \boldsymbol{\beta} + \varepsilon_i, \quad i = 1, \dots, n,$$

여기서  $\mathbf{x}_i$ 는  $p \times 1$  확률벡터로서  $\{(\mathbf{x}_i, y_i) : i = 1, \dots, n\}$ 는 서로 독립이고 동일한 분포  $F(\mathbf{x}, y)$ 를 따른다.  $\varepsilon_i$ 는  $\mathbf{x}_i$ 와 서로 독립이고 0에 대하여 대칭이며  $Var(\varepsilon_i) = \sigma^2$ 이다. 또한  $\boldsymbol{\beta}$ 는 미지의  $p \times 1$  모수벡터이다.

위의 모형에 대한 GM-추정량은 다음과 같은  $p$ 개의 연립방정식의 해로 정의된다.

$$\sum_{i=1}^n \eta(\mathbf{x}_i, r_i(\boldsymbol{\beta})) \mathbf{x}_i = \mathbf{0}, \quad (1)$$

여기서  $r_i(\boldsymbol{\beta}) = y_i - \mathbf{x}_i' \boldsymbol{\beta}$ 이다. 최대붕괴점과 유계영향함수를 갖는 GM-추정량으로 대표적인 것은 Simpson et al. (1992)에 의하여 제안된 Mallows-형태와 Coakley and Hettmansperger (1993)에 의하여 제안된 Schweppe-형태가 있으며, 이들은 다음과 같다.

$$\text{Mallows-형태: } \eta(\mathbf{x}_i, r_i) = w(\mathbf{x}_i) \psi\left(\frac{r_i}{\sigma}\right)$$

$$\text{Schweppe-형태: } \eta(\mathbf{x}_i, r_i) = w(\mathbf{x}_i) \psi\left(\frac{r_i}{\sigma w(\mathbf{x}_i)}\right).$$

이 두 추정량의 문제점은 지렛대점에 대해서는 무조건 1보다 작은 가중치를 주는데 있다. 즉, 지렛대점의 영향을 적게 또는 거의 받지 않도록 하는 것이다. 초기적합이 잘 되었을 때, 초기적합으로부터 나온 잔차가 아주 작은 점이 지렛대점일 경우 이 점은 모형에 기여도가 높은 점이라 할 수 있다. 그럼에도 불구하고 이런 점에 대하여 가중치를 작게 주는 것은 모형에 충실한 자료의 정보를 잃어버림을 의미한다고 볼 수 있다. 물론 Schweppe-형태에서는 이러한 점을 고려하여  $\psi$ -함수 안에서 개선을 시도하고 있지만 근본적으로 가중치를 변화시킨 것은 아니다.

Song et al. (1994b)에 의하여 제안된 추정량은 위에서 언급한 두 방법의 단점을 보완하기 위하여 계획점뿐만 아니라 초기적합으로부터 일어진 잔차를 고려하여 다음과 같은 가중함수에 의하여 가중치를 계산하였다.

$$\begin{aligned} w_i &= w(\mathbf{x}_i, r_i(\beta)) \\ &= \min\left(1, \frac{a \cdot \sigma v(\mathbf{x}_i)}{|r_i(\beta)|}\right), \end{aligned} \quad (2)$$

여기서  $a$ 는 적절한 조율상수이고  $v(\mathbf{x}_i)$ 는 지렛대점을 판단하는데 기준이 되는 측도로서 다음과 같다.

$$v(\mathbf{x}_i) = \min\left[ 1, \left( \frac{b}{(\mathbf{z}_i - \mathbf{m}_z)^T C_z^{-1} (\mathbf{z}_i - \mathbf{m}_z)} \right)^{1/2} \right], \quad (3)$$

다만,  $\mathbf{z}_i$ 는 절편을 제외한 계획점으로서  $\mathbf{x}_i^T = (1, \mathbf{z}_i^T)$ 으로 정의되고,  $\mathbf{m}_z$ 와  $C_z$ 는  $\mathbf{z}$ 의 분포의 중심벡터와 공분산행렬의 추정량으로 최대봉괴점을 갖는 최소부피타원체(Minimum Volume Ellipsoid) 추정량이며,  $b = \chi^2_{p-1, 0.95}$ 이다. (Simpson et al., 1992)

이러한 가중함수의 동기는 좋은 지렛대점(good leverage point)의 영향은 감소시킬 필요가 없다는데 있다. 앞에서 정의한 가중함수를 이용하여  $\eta$ -함수를 다음과 같이 정의한다.

$$\eta(\mathbf{x}, r(\beta)) = w(\mathbf{x}, r(\beta)) \psi\left(\frac{r(\beta)}{\sigma w(\mathbf{x}, r(\beta))}\right),$$

여기서  $\psi$ 는 M-추정량의  $\psi$ -함수이다. 위의  $\eta$ -함수를 식 (1)에 적용한 다음, 초기추정량  $\hat{\beta}_0$ 에 대하여 Taylor 급수전개의 1차항근사를 사용하면 1단계 GM-추정량을 얻을 수 있다. 따라서  $\eta'(\mathbf{x}, r(\beta))$ 를  $\eta(\mathbf{x}, r(\beta))$ 의  $r(\beta)/\sigma$ 에 대한 미분이라하면  $\hat{\beta}_0$ 에 기초한 1단계 GM-추정량은 다음과 같다.

$$\begin{aligned} \hat{\beta} &= \hat{\beta}_0 + \hat{\sigma}_0 \left( \sum_{i=1}^n \mathbf{x}_i \eta'(\mathbf{x}_i, r_i(\hat{\beta}_0)) \mathbf{x}_i^T \right)^{-1} \cdot \left( \sum_{i=1}^n \hat{w}_i \psi\left(\frac{r_i(\hat{\beta}_0)}{\hat{\sigma}_0 \hat{w}_i}\right) \mathbf{x}_i \right) \\ &= \hat{\beta}_0 + \hat{\sigma}_0 (X' \hat{A} X)^{-1} X' \hat{W} \Psi, \end{aligned}$$

다만,  $\hat{\beta}_0$ 는 최소절사제곱(least trimmed squares) 추정량과 같은 최대봉괴점을 갖는 초기값이

고,  $\hat{\sigma}_0 = 1.4826 \text{ MAD}\{r_i(\hat{\beta}_0)\}$ 이며, MAD는 Median Absolute Deviation을 의미한다. 또한,  $X$ 는  $\mathbf{x}_i^t$ 들을 행으로 하는  $n \times p$  행렬이고,  $\widehat{A} = \text{diag}(\eta'(\mathbf{x}_i, r_i(\hat{\beta}_0)))$ ,  $\widehat{W} = \text{diag}(\widehat{w}_i)$ ,  $\Psi$ 는  $\psi_i$ 들로 구성된  $n \times 1$  행렬이다. 여기서  $\widehat{w}_i$ 은 식 (2)에서  $r_i(\beta)$ 와  $\sigma$  대신에  $r_i(\hat{\beta}_0)$ 와  $\hat{\sigma}_0$ 를 각각 대입해서 얻어질 수 있다.

한편, Bickel (1975)과 Coakley and Hettmansperger (1993)에 따르면 적절한 조건하에서 다음이 성립함을 보일 수 있다.

$$\sqrt{n}(\hat{\beta} - \beta) \xrightarrow{d} N(0, \sigma^2 \Sigma),$$

여기서  $\Sigma = D^{-1}ED^{-1}$ 이고  $D$ 와  $E$ 는 아래와 같다.

$$D = \int \eta'(\mathbf{x}, r(\beta)) \mathbf{x} \mathbf{x}' dF(\mathbf{x}, y),$$

$$E = \int \psi^2\left(\frac{r(\beta)}{\sigma w(\mathbf{x}, r(\beta))}\right) w^2(\mathbf{x}, r(\beta)) \mathbf{x} \mathbf{x}' dF(\mathbf{x}, y).$$

또한, 회귀모수에 대한 추론을 위해서는 다음과 같은 방법으로  $\text{Var}(\hat{\beta})$ 를 추정할 수 있다.

$$n \widehat{\text{Var}}(\hat{\beta}) = \hat{\sigma}_0^2 \widehat{D}^{-1} \widehat{E} \widehat{D}^{-1},$$

여기서  $\widehat{D}$ 와  $\widehat{E}$ 는 다음과 같다.

$$\widehat{D} = \frac{1}{n} X^t \text{diag}\left(\eta'(\mathbf{x}_i, r_i(\hat{\beta}_0))\right) X, \quad \widehat{E} = \frac{1}{n} X^t \text{diag}\left(\psi^2\left(\frac{r_i(\hat{\beta}_0)}{\hat{\sigma}_0 \widehat{w}_i}\right) \widehat{w}_i^2\right) X.$$

## 2.2 평행성검정을 위한 검정통계량

이 절에서는 두 회귀직선의 평행성에 대한 가설  $H_0 : \beta_1 = \beta_2$ 를 검정하기 위하여 2.1절에서 기술한 GM-추정량의 점근 정규성을 이용하려고 한다. 즉  $\hat{\beta}_1$ 와  $\hat{\beta}_2$ 를 각각  $\beta_1$ 과  $\beta_2$ 의 GM-추정량이라 할 때  $\hat{\beta}_2 - \hat{\beta}_1$ 의 점근정규성을 이용하여 다음과 같은 통계량을 생각할 수 있다.

$$Z = \frac{\hat{\beta}_1 - \hat{\beta}_2}{\sqrt{\widehat{\text{Var}}(\hat{\beta}_1 - \hat{\beta}_2)}}.$$

$Z$ 통계량의 분모에 있는 분산은 다음과 같이 계산할 수 있다.

$$\widehat{\text{Var}}(\hat{\beta}_2 - \hat{\beta}_1) = \hat{\sigma}_{01}^2 (\widehat{\Sigma}_1)_{22}/n_1 + \hat{\sigma}_{02}^2 (\widehat{\Sigma}_2)_{22}/n_2,$$

여기서  $\hat{\sigma}_{01} \widehat{\Sigma}_1/n_1$ 과  $\hat{\sigma}_{02} \widehat{\Sigma}_2/n_2$ 는 각각 직선1과 직선2로부터 구한 회귀모수의 추정량의 점근공분산행렬의 추정치들이다. 또한,  $(\widehat{\Sigma}_i)_{22}$ 는  $(\widehat{\Sigma}_i)$ 의 (2, 2) 요소이다.

한편, 식 (3)의  $v(\mathbf{x}_i)$ 는 지렛대점을 판단하는데 기준이 되는 측도이다. 그러나 평행성 검정에서는  $\mathbf{x}_i$ 가 벡터가 아니므로  $v(x_i)$ 를 다음과 같은 형태로 쓸 수 있다. (Naranjo and Hettmansperger, 1994)

$$v(x_i) = \min \left[ 1, \left( \frac{b}{(x_i - m_x) C_x^{-1}(x_i - m_x)} \right)^{1/2} \right],$$

여기서  $m_x = \text{med}\{x_i\}$ 이고  $C_x = (1.4826 \text{MAD}\{x_i\})^2$ ,  $b = \chi^2_{1,0.95}$ 이다.

$Z$  통계량은 충분히 큰  $n_1, n_2$ 에 대하여 표준정규분포로 근사될 수 있고, 이를 이용하여 근사검정을 할 수 있으며, 따라서 제안된 검정법은 점근분포무관 (asymptotic distribution-free) 검정법이 된다.

### 3. 소표본 모의실험

이 절에서는 제안된 검정법의 특성을 기존의 검정법들과 비교하기 위하여 소표본에서 모의실험 결과에 대하여 기술하고자 한다. Song et al. (1994a)에 의하면 Potthoff 검정은 너무 보수적이기 때문에 비교대상에서 제외하고,  $t$ -검정과 Hollander 검정을 비교의 대상으로 하겠다. 또한 Hollander 검정법은 계획점이 등간격일 때 검정력이 뛰어나므로 계획점을 다음과 같이 등간격으로 설정하였다.

$$x_{ij} = j, \quad i=1, 2; \quad j=1, 2, \dots, 20 \quad (n_1 = n_2 = 20).$$

오차들의 분포로는 정규분포 ( $N(0, 1)$ ), 이중지수분포 ( $DE(0, 1)$ ) 그리고 오염정규분포 ( $CN(\epsilon, \sigma)$ )가 고려되었다. 오염정규분포의 분포함수는 다음과 같으며,  $\epsilon$ 은 오염의 정도를 나타낸다.

$$F(x) = (1 - \epsilon)\Phi(x) + \epsilon\Phi\left(\frac{x}{\sigma}\right).$$

또한 대립가설  $H_1 : \beta_1 < \beta_2$  을 설계하기 위하여 다음의 관계식을 이용하였다.

$$\beta_2 = \beta_1 + m\delta, \quad (m = 0, 1, 2, 3),$$

여기서  $\delta$ 는 분포에 따라 다른 상수(예를 들면  $N(0,1)$ 에서는 0.06)이며,  $m$ 이 0이면 경험적 유의수준을 나타낸다.

각 분포에 따른 난수의 발생과 모든 계산은 SUN SPARC10 AXIL311에서 S-PLUS Ver. 3.1 (Release 1 for SUN SPARC)을 이용하였고, Hollander 검정에서는 지정된 명목수준에 맞추기 위하여 확률화검정(randomized test)을 하였다. 그 밖에 제안된 검정법에서 사용된 함수 및 값으로  $\psi(\cdot)$ 은 Huber 함수(조율상수 = 1.5)를, 그리고 가중함수에서 조율상수는  $a = 3.0$  (Song et al., 1994b)로 하였다. 또한 초기추정치는 최대봉괴점(0.5)을 갖는 최소절사제곱 추정치를 이

&lt;표 3. 1&gt; 경험적 유의수준과 검정력 (반복수 = 1000)

검정법		t-검정			Hollander 검정			제안된 검정		
분포	$\frac{\alpha}{m}$	.01	.05	.10	.01	.05	.10	.01	.05	.10
$N(0, 1)$	0	.011	.041	.098	.007	.037	.079*	.011	.052	.100
	1	.092	.258	.399	.061	.171	.302	.073	.220	.349
	2	.368	.664	.776	.196	.452	.635	.299	.547	.667
	3	.723	.914	.966	.441	.739	.787	.561	.796	.868
$DE(0, 1)$	0	.006	.044	.098	.008	.038	.093	.010	.046	.104
	1	.068	.198	.305	.041	.156	.261	.082	.200	.309
	2	.222	.438	.596	.132	.334	.504	.263	.470	.629
	3	.505	.737	.840	.301	.588	.737	.547	.763	.842
$CN(.1, 5)$	0	.010	.042	.098	.011	.045	.086	.015	.049	.103
	1	.047	.174	.304	.044	.138	.273	.091	.239	.354
	2	.188	.414	.544	.130	.329	.490	.302	.561	.702
	3	.423	.650	.740	.281	.539	.710	.594	.802	.890
$CN(.1, 10)$	0	.010	.065*	.116	.010	.049	.112	.010	.053	.098
	1	.032	.143	.241	.042	.151	.264	.099	.262	.386
	2	.105	.276	.403	.121	.269	.423	.369	.590	.705
	3	.205	.420	.537	.209	.430	.582	.668	.846	.906
$CN(.2, 5)$	0	.008	.058	.106	.004	.044	.102	.011	.050	.110
	1	.040	.134	.219	.030	.124	.207	.074	.214	.328
	2	.110	.283	.411	.095	.239	.401	.245	.484	.628
	3	.251	.516	.639	.177	.407	.576	.549	.756	.838

\* 경험적 유의수준이  $\pm 2 \times (\text{표준편차})$ 를 벗어나는 경우

용하였으며 이의 계산은 S-PLUS의 함수 lts.reg를 이용하여 계산하였다.

여러 분포에서 모의실험을 실시한 결과는 <표 3. 1>에 요약되어 있다. 표의 결과에 의하면 제안된 검정법은 고려된 모든 분포에서 안정된 유의수준을 보여주고 있다. 정규분포에서는 제안된 방법이 모수적  $t$ -검정보다 검정력이 떨어지나 Hollander 검정보다는 우수하다. 또한 이중 지수분포에서는  $t$ -검정과 비슷하며 그 이외의 분포에서는  $t$ -검정보다 훨씬 뛰어난 검정력을 갖고 있음을 알 수 있다. 그리고 제안된 검정법이 고려된 모든 분포에서 Hollander 검정보다 뛰어난 검정력을 갖고 있음을 알 수 있다.

#### 4. 예제

본 절에서는 계획점이 등간격이 아니고 다음과 같이 지렛대점이 있는 가상적인 자료(<표 4. 1>)에 대하여 세 검정법이 어떠한 결과를 가져오는지를 살펴 보기로 하겠다. <표 4. 1>과 <그림 4. 1>에서 보듯이 자료 1에는 2개의 지렛대점이 있으며 그 중 16번째 자료(25.0, 25.00)는 좋은 지렛대점(good leverage point)으로, 15번째 자료(24.0, 10.00)는 나쁜 지렛대점(bad leverage point)으로 보인다. 그리고 1번째(1.0, 8.45), 2번째(2.0, 5.50) 자료는 이상점(regression outlier)이라 할 수 있겠다.

한편 자료 2 ( $\diamond$ 로 표시)에는 이상점도 지렛대점도 보이지 않는다. 자료 1 ( $\bullet$ 로 표시)에서 3 개의 점을 제외하면 두 직선의 기울기가 다르다고 할 근거는 거의 없어 보인다. 다소 인위적이기는 하지만 이 자료에 대하여 평행성 검정을 해 보도록 하겠다.

<표 4. 1> 두 직선의 자료 ( $n_1 = n_2 = 16$ )

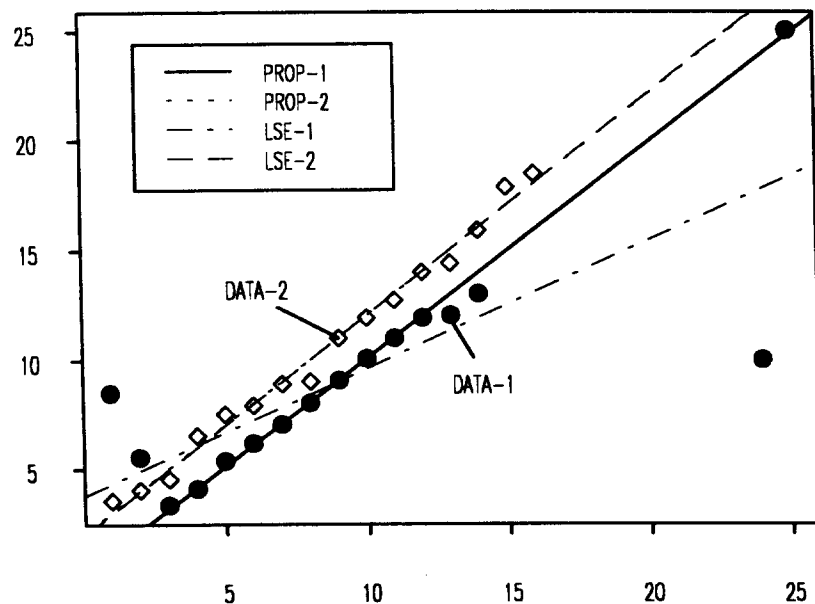
자료 1 (직선 1)	$x$	1.0	2.0	3.0	4.0	5.0	6.0	7.0	8.0
	$y$	8.45	5.50	3.30	4.05	5.35	6.15	7.00	8.00
	$x$	9.0	10.0	11.0	12.0	13.0	14.0	24.0	25.0
	$y$	9.08	10.05	11.00	11.90	12.00	13.00	10.00	25.00
자료 2 (직선 2)	$x$	1.0	2.0	3.0	4.0	5.0	6.0	7.0	8.0
	$y$	3.50	4.00	4.50	6.50	7.50	7.90	8.90	9.00
	$x$	9.0	10.0	11.0	12.0	13.0	14.0	15.0	16.0
	$y$	11.00	11.90	12.70	14.00	14.40	15.90	17.90	18.50

자료 1에서  $v(x_i)$ 의 기준에 의하면 지렛대점이 2개 (15번째, 16번째) 있으며 이들에 대한 가중값은 각각  $v(x_{15}) = 0.7499$ 와  $v(x_{16}) = 0.7044$ 이다. 여기서 대립가설은  $H_1 : \beta_1 \neq \beta_2$ 이고 검정과정에서 구하여진 기울기 ( $\beta$ )의 추정치 및 각 검정에서의  $p$ -값을 정리하면 다음의 <표 4. 2>와 같다.

&lt;표 4. 2&gt; 검정의 결과

검정법	t-검정		Hollander 검정		제안된 검정	
추정치	$\hat{\alpha}$	$\hat{\beta}$	$\hat{\alpha}$	$\hat{\beta}$	$\hat{\alpha}$	$\hat{\beta}$
직선 1	3.7355	0.5848			0.2138	0.9836
직선 2	1.9725	1.0039			2.0091	1.0006
p-값	0.0083		0.0234		0.6083	

<표 4. 2>에서 t-검정에서의 회귀모수 ( $\alpha, \beta$ ) 추정치는 최소제곱추정치이며, 이는 이상점 뿐만 아니라 나쁜 지렛대점에 크게 영향을 받기 때문에 이를 이용한 t-검정의 결과는 두 직선의 기울기가 전혀 같지 않다는 결론을 내리게 한다. 그러나 제안된 검정에서는 사용되는 기울기의 추정치가 이상점 또는 나쁜 지렛대점에 거의 영향을 받지 않기 때문에 검정의 결과는 다른 두 검정과 상이한 결정을 내리게 한다. 한편, Hollander 검정은 t-검정과 비교해 볼 때 이상점 또는 지렛대점에 다소 둔감한 편이지만 여전히 위의 자료에 대하여 기울기가 같다는 결정을 하는데 주저하게 한다.



&lt;그림 4.1&gt; 산점도와 적합된 직선

<그림 4. 1>에서 PROP-1과 LSE-1은 자료 1 (DATA-1)을 각각 제안된 GM-추정법과 최소제곱추정법에 의하여 적합시킨 직선을 나타내며, PROP-2와 LSE-2는 자료 2(DATA-2)에 대한 적합의 결과를 나타낸다.

일반적으로 평행성검정은 기울기의 추정치에 크게 의존하게 된다. <그림 4. 1>에서 LSE-1과 LSE-2의 기울기를 비교해 보면 차이가 있음을 쉽게 알 수 있다. 그러나 제안된 추정법에 의한 PROP-1과 PROP-2의 기울기는 거의 같음을 알 수 있다.

### 참 고 문 헌

- [1] Bickel, P.J. (1975). One-Step Huber Estimates in the Linear Model, *Journal of the American Statistical Association*, Vol. 70, 428-434.
- [2] Coakley, C.W. and Hettmansperger, T.P. (1993). A Bounded Influence, High Breakdown, Efficient Regression Estimator, *Journal of the American Statistical Association*, Vol. 88, 872-880.
- [3] Hollander, M. (1970). A Distribution-Free Test for Parallelism, *Journal of the American Statistical Association*, Vol. 65, 387-394.
- [4] Makatou, M. and He, X. (1994). Bounded Influence and High Breakdown Point Testing Procedures in Linear Models, *Journal of the American Statistical Association*, Vol. 89, 543-549.
- [5] Naranjo, J.D. and Hettmansperger, T.P. (1994). Bounded Influence Rank Regression, *Journal of the Royal Statistical Society, Ser. B*, Vol. 56(1), 209-220.
- [6] Potthoff, R.F. (1974). A Nonparametric Test of Whether Two Simple Regression Lines are Parallel, *The Annals of Statistics*, Vol. 2, 295-310.
- [7] Simpson, D.G., Ruppert, D. and Carroll, R.J. (1992). On One-Step GM Estimates and Stability of Inferences in Linear Regression, *Journal of the American Statistical Association*, Vol. 87, 439-450.
- [8] Song, M.S., Shin, B.S. and Nam, H.S. (1994a). A Robust Test for the Parallelism of Two Regression Lines, *Proceedings in the eighth Japan and Korea joint conference of statistics*, Japan, 95-100.
- [9] Song, M.S., Park, C.S. and Nam, H.S. (1994b). A Generalized M-Estimator in Linear Regression, *The Korean Communications in Statistics*, Vol. 1, 27-32.

## A Robust Test for the Parallelism of two Regression Lines

Ho Soo Nam<sup>4)</sup>, Moon Sup Song<sup>5)</sup> and Bong Sup Shin<sup>6)</sup>

### Abstract

For the problem of testing the parallelism of two regression lines, a robust procedure is proposed and examined. The proposed test statistic is based on the one-step GM-estimators of slope parameters proposed by Song et al. (1994b). These GM-estimators used the Least Trimmed Squares estimates as an initial values so as to obtain high breakdown point. Through a small-sample Monte Carlo simulation the empirical levels and powers of the proposed test are compared with other tests under various error distributions.

---

4) Statistical Research Institute, College of Natural Science, Seoul National University, Kwanak-Ku, Seoul, 151-742, KOREA.

5) Department of Computer Science and Statistics, Seoul National University, Kwanak-Ku, Seoul, 151-742, KOREA.

6) Department of Statistics, Anyang University, Anyang-City, 430-714, KOREA.